

УДК 537.226

© 1991

## ПОДАВЛЕНИЕ СЕГНЕТОЭЛЕКТРИЧЕСТВА МАЛЫМИ МЕХАНИЧЕСКИМИ НАПРЯЖЕНИЯМИ В КРИСТАЛЛАХ ТМА— $\text{CoCl}_4$

*B. B. Гладкий, С. Н. Каллаев, В. А. Кириков,  
Е. С. Иванова, Л. А. Шувалов*

Подробно исследован эффект полного подавления сегнетоэлектричества малыми одноосными напряжениями сжатия в кристаллах ТМА— $\text{CoCl}_4$ . Регистрация сегнетоэлектрических свойств проведена по данным измерения спонтанной поляризации  $P_s$  и аномальной компоненты диэлектрической проницаемости  $\epsilon_{xx}$ . Установлено, что полное исчезновение сегнетоэлектрической фазы осуществляется при сжатии кристалла компонентами напряжений  $\sigma_{zz}$ ,  $\sigma_{yy}$  и эффект практически отсутствует при сжатии компонентой  $\sigma_{xx}$  (ось  $X \parallel P_s$ ). Построены фазовые  $\sigma_{zz}$ ,  $T$ - и  $\sigma_{yy}$ ,  $T$ -диаграммы с критическими точками при  $(\sigma_{zz})_{kp} \approx 17$ ,  $(\sigma_{yy})_{kp} \approx 25$  кГ/см<sup>2</sup>. Даётся сравнение результатов измерений с данными для кристалла ТМА— $\text{ZnCl}_4$ .

Недавно сообщалось об обнаружении эффекта полного подавления сегнетоэлектричества малым одноосным напряжением сжатия в кристаллах  $\{\text{N}(\text{CH}_3)_4\}_2\text{ZnCl}_4$  (ТМА— $\text{ZnCl}_4$ ) [1] и  $\{\text{N}(\text{CH}_3)_4\}\text{CoCl}_4$  (ТМА— $\text{CoCl}_4$ ) [2]. В первом кристалле эффект наблюдался при сжатии вдоль кристаллографической оси, совпадающей с направлением структурной модуляции, а во втором — при сжатии вдоль другой оси. В обоих случаях направления сжатия были перпендикулярны спонтанной поляризации.

Подробное исследование диэлектрических свойств кристалла ТМА— $\text{ZnCl}_4$  при сжатии его поочередно вдоль всех трех кристаллографических осей приводится в [3]. Настоящая работа является аналогичным исследованием кристалла ТМА— $\text{CoCl}_4$ . При совпадении основных особенностей изменения фазовых диаграмм этих кристаллов при одноосных сжатиях обнаруживается ряд различий в их поведении. Во-первых, качественно различен характер температурных аномалий диэлектрических свойств в области структурных переходов в полярную фазу. Во-вторых, существует заметное различие в значениях критических напряжений, полностью подавляющих сегнетоэлектричество: в ТМА— $\text{CoCl}_4$  эти значения минимальны.

Кристалл ТМА— $\text{CoCl}_4$  при атмосферном давлении претерпевает шесть фазовых переходов при 20, 7.1, 4.6, 3.0, —81, —151 °C, разделяющих соответственно семь фаз. Изменение симметрии фаз при понижении температуры идет по следующей схеме:  $Pmcn(D_{2h}^{16}) \rightarrow$  несоразмерная с волновым вектором  $q_0 = (2/5 + \delta)c^*(c^* = 2\pi/c) \rightarrow P2_1cn(C_{2v}^9)(\delta = 0) \rightarrow$  несоразмерная с  $q_0 = (2/5 - \delta)c^* \rightarrow P112_1/n (q_0 = c^*/3) \rightarrow P12_1/c1 (q_0 = c^*) \rightarrow P2_12_12_1 (q_c = c^*/3)$ . В единственной полярной фазе  $C_{2v}^9$  спонтанная поляризация направлена вдоль оси  $a$  ( $X$ ). При гидростатическом давлении  $p = 500$  бар соразмерная полярная фаза исчезает [4].

Для измерений использовался прямоугольный брускок кристалла с ребрами размером  $2 \times 3.5 \times 3.5$  мм, ориентированными вдоль кристаллографических осей  $a$  ( $X$ ),  $b$  ( $Y$ ),  $c$  ( $Z$ ) соответственно. Одноосное напряжение сжатия прикладывалось поочередно вдоль всех трех осей. Диэлектрическая проницаемость  $\epsilon_{xx}$  измерялась стандартным мостовым методом на частоте

1 кГц, а спонтанная поляризация  $P_s$  оценивалась по петлям диэлектрического гистерезиса зависимости поляризации  $P_x$  от электрического поля  $E_x$  на частоте 50 Гц. При измерении температурных аномалий  $\epsilon_{xx}$  использовалось также постоянное электрическое поле, монодоминизирующее кристалл. Отметим, что температуры переходов в сегнетоэлектрическую фазу  $C_2^0$  на исследуемых образцах несколько отличаются от приведенных в [4].

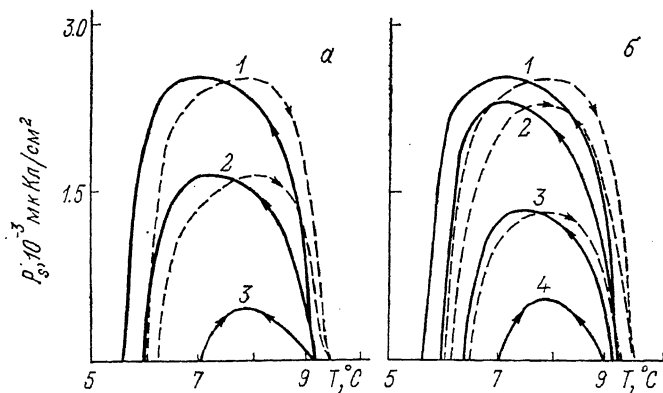


Рис. 1. Температурная зависимость спонтанной поляризации  $P_s$  кристалла ТМА— $\text{CoCl}_2$  для различных одноосных напряжений сжатия  $\sigma$ .  $\sigma_{zz}$  (a),  $\sigma_{yy}$  (b),  $\sigma=0$  (1), 7 (2), 14 (3), 20  $\text{kG}/\text{cm}^2$  (4).

Так же как в случае ТМА— $\text{ZnCl}_4$  [3], аномальное изменение диэлектрических свойств имеет место при сжатии кристалла компонентами напряжения  $\sigma_{zz}$ ,  $\sigma_{yy}$ , отсутствует при сжатии компонентой  $\sigma_{xx}$  (вдоль  $P_s$ ) и максимально для  $\sigma_{zz}$ .

Температурные зависимости спонтанной поляризации  $P_s$  кристалла, полученные как при понижении, так и при повышении температуры, для различных значений компонент  $\sigma_{zz}$  (a) и  $\sigma_{yy}$  (b) приведены на рис. 1. Видно, что при сжатии  $\sigma_{zz}$  или  $\sigma_{yy}$  границы полярной фазы, где  $P_s$  обращается в нуль, сближаются (полярная фаза становится уже), а максимальная величина

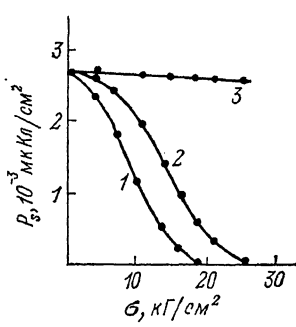


Рис. 2. Зависимость спонтанной поляризации  $P_s$  кристалла ТМА— $\text{CoCl}_2$  от одноосных напряжений сжатия  $\sigma$  при  $T=7.5$  °C.

1 —  $\sigma=\sigma_{zz}$ , 2 —  $\sigma_{yy}$ , 3 —  $\sigma_{xx}$ .

$P_s$  резко уменьшается. Постепенное подавление сегнетоэлектрического сопровождается уменьшением и исчезновением температурного гистерезиса  $P_s$ : для кривых 3 на рис. 1, a и кривых 4 на рис. 1, b гистерезис практически отсутствует. Видно также, что при воздействии  $\sigma_{zz}$  полярная фаза исчезает быстрее, чем при воздействии  $\sigma_{yy}$ , однако смещение правой (высокотемпературной) границы полярной фазы больше для  $\sigma_{yy}$ , чем для  $\sigma_{zz}$ .

Характер изменения спонтанной поляризации  $P_s$  при сжатии различными одноосными напряжениями при постоянной температуре  $T \approx 7.5$  °C показан на рис. 2. Видно, что  $P_s$  мало изменяется при воздействии  $\sigma_{xx}$ , это изменение линейно с  $\sigma_{zz}$  и является следствием обычного пьезоэлектрического эффекта с коэффициентом  $d_{111} = \Delta P_s / \sigma_{zz} \approx 7 \cdot 10^{-8}$  ед. СГСЭ. При напряжениях  $\sigma_{zz}$ ,  $\sigma_{yy}$  спонтанная поляризация  $P_s$  полностью исчезает,

а соответствующий коэффициент, характеризующий уменьшение  $P_s$ , равен  $D = \Delta P_s / \sigma_{zz} \simeq \Delta P_s / \sigma_{yy} \sim 10^{-6}$  ед. СГСЭ. Зависимость  $P_s$  от  $\sigma_{zz}$  и  $\sigma_{yy}$  существенно нелинейная. Подавление  $P_s$  идет эффективнее для  $\sigma_{zz}$ .

Зависимости  $P_s$  от напряжений (рис. 2) получены при температуре, которая соответствует приблизительно середине полярной фазы при  $\sigma=0$ , и обращение  $P_s$  в нуль есть следствие полной ликвидации полярной фазы, а не сдвига ее границ в область температур, в которую не попадает заданная температура. Иначе говоря, напряжения  $\sigma_{zz} \simeq 17$ ,  $\sigma_{yy} \simeq 25$  кГ/см<sup>2</sup> на рис. 2, когда  $P_s=0$ , являются теми критическими напряжениями, которые отвечают критическим точкам на фазовых  $\sigma$ ,  $T$ -диаграммах. Как видно из рис. 2, эти критические напряжения малы. Очевидно также, что напряжения, при которых  $P_s$  обращается в нуль в основном уже за счет смещения границ полярной фазы, будут еще меньше, если кристалл до приложения напряжений имеет температуру, более близкую к точкам фазовых переходов. Например, из рис. 1, *a* видно, что при  $T=6$  °C  $P_s=0$  уже при  $\sigma_{zz}=-7$  кГ/см<sup>2</sup>.

Отметим, что форма температурных зависимостей  $P_s$  для TMA—CoCl<sub>4</sub> на рис. 1 отличается от аналогичных зависимостей  $P_s$  для TMA—ZnCl<sub>4</sub> [3]. Во-первых, эта зависимость для TMA—CoCl<sub>4</sub> является почти зеркально-симметричной относительно вертикальной оси, проходящей через середину температурного интервала полярной фазы: вид температурных зависимостей  $P_s$  для любых значений  $\sigma_{zz}$ ,  $\sigma_{yy}$ , меньших критических ( $\sigma_{zz}$ )<sub>kp</sub>, ( $\sigma_{yy}$ )<sub>kp</sub>, при приближении температуры к точкам обоих структурных переходов из полярной фазы качественно практически одинаков. Во-вторых, при воздействии  $\sigma_{zz}$  смещение границы полярной фазы, которая имеет более высокую температуру, заметно меньше, чем смещения фазовых границ во всех других случаях (рис. 1, *a*). Первая особенность зависимостей  $P_s$  от  $T$ , конечно, обусловлена тем, что в кристаллах TMA—CoCl<sub>4</sub> полярная фаза находится внутри несоразмерной фазы, так что слева и справа на температурной оси от нее находится одна и та же фаза с одинаковыми свойствами [3], а в TMA—ZnCl<sub>4</sub> полярная фаза в отсутствие внешних давлений при охлаждении кристалла переходит сразу в соразмерную сегнетоэлектрическую фазу [4], а еще одна промежуточная несоразмерная фаза, как в TMA—CoCl<sub>4</sub>, по-видимому, появляется только при гидростатическом [4] или одноосном [3] сжатии. Причем диэлектрические аномалии TMA—ZnCl<sub>4</sub> в точке перехода из полярной фазы в промежуточную фазу, индуцированную одноосными напряжениями, по невыясненным причинам резко отличаются [3] от аномалий при гидростатическом давлении [4] или от аномалий TMA—CoCl<sub>4</sub> при этом же переходе. Вторая отмеченная выше особенность малого смещения одной фазовой границы в TMA—CoCl<sub>4</sub> при воздействии  $\sigma_{zz}$  остается неясной.

Влияние одноосных напряжений сжатия на полярную фазу кристалла TMA—CoCl<sub>4</sub> существенно сказывается также на температурной зависимости аномальной компоненты диэлектрической проницаемости  $\epsilon_{xx}$ . На рис. 3 показаны изменения температурных зависимостей  $\epsilon_{xx}$  при сжатии кристалла напряжениями  $\sigma_{zz}$  и  $\sigma_{yy}$ . В отсутствие напряжений ( $\sigma=0$ ) на кривых  $\epsilon_{xx}(T)$  проявляются три аномальные точки: два максимума и один скачок  $\epsilon_{xx}$ . Максимумы  $\epsilon_{xx}$  близки по температуре к точкам структурных переходов, ограничивающих полярную фазу, а скачок  $\epsilon_{xx}$  отмечает переход из несоразмерной в соразмерную сегнетоэлектрическую фазу. Из рис. 3 видно, что при сжатии кристалла напряжениями  $\sigma_{zz}$ ,  $\sigma_{yy}$  максимумы  $\epsilon_{xx}$ , уменьшаясь по величине, сближаются — температурный интервал существования полярной фазы уменьшается, а скачок  $\epsilon_{xx}$  слабо смещается в область более высоких температур и размыается, возможно, из-за появления неоднородных деформаций при сжатии образца, однако при этом на кривых  $\epsilon_{xx}(T)$  остается точка, в которой претерпевает скачок производная  $d\epsilon_{xx}/dT$ . Когда величины  $\sigma$  превышают критические значения  $\sigma_{kp}$ , при которых, согласно данным для  $P_s$ , практически полностью исчезает полярная фаза, у зависимости  $\epsilon_{xx}(T)$  остается только один пологий мак-

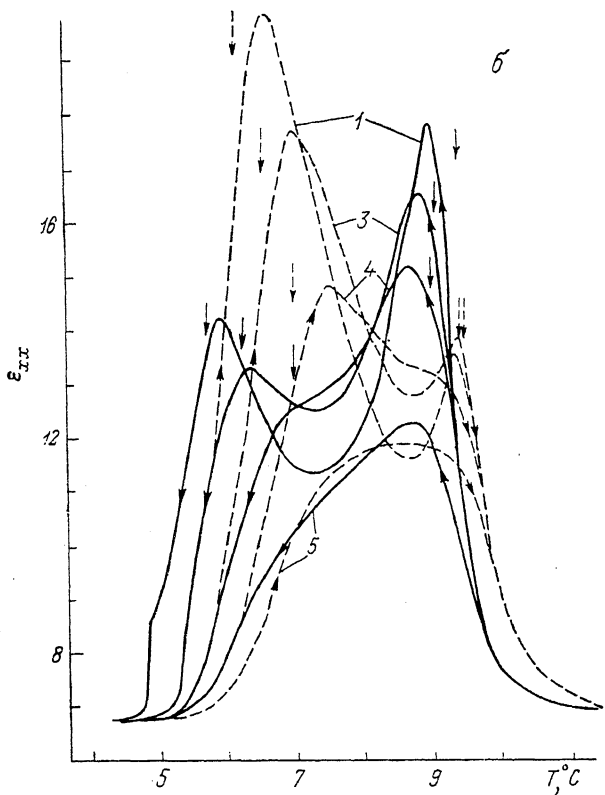
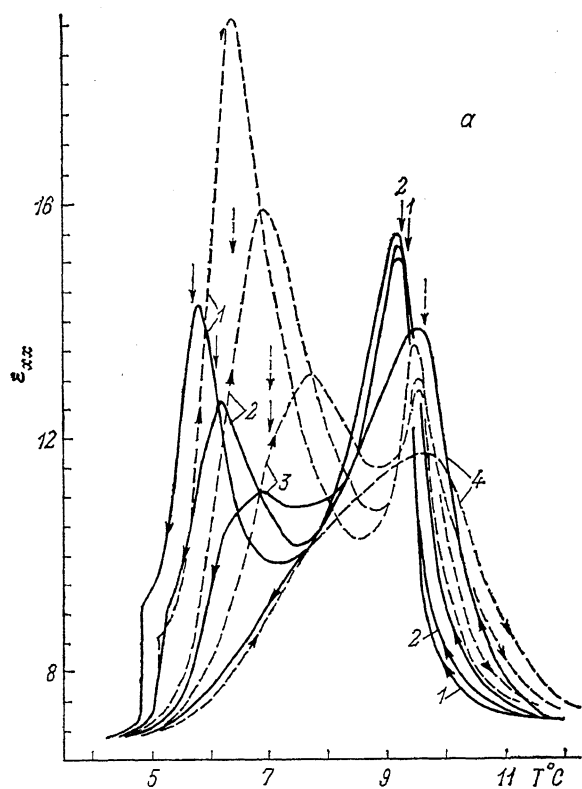


Рис. 3. Температурная зависимость диэлектрической проницаемости  $\epsilon_{xx}$  кристалла ТМА— $\text{CoCl}_4$  для различных одноосных напряжений сжатия  $\sigma$ .  
 а —  $\sigma = \sigma_{zz}$ , б —  $\sigma = \sigma_{yy}$ . 1 —  $\sigma = 0$ , 2 — 7, 3 — 14, 4 — 20, 5 — 27 кГ/см<sup>2</sup>. Стрелками обозначены температурные точки, в которых  $P_s = 0$ .

симум (кривые 4, 5 на рис. 3), смещающийся в область более высоких температур по мере увеличения  $\sigma$ . Аналогичное изменение вида температурной зависимости  $\varepsilon_{xx}$  наблюдалось также при гидростатическом сжатии кристалла, однако при более высоких значениях давлений [5].

Необходимо отметить, что температурные максимумы  $\varepsilon_{xx}$  кристалла не совпадают с точками переходов в полярную фазу, в которых  $P_s=0$  (отмечены стрелками на рис. 3), и несколько смещены внутрь полярной фазы. Эта особенность  $\varepsilon_{xx}$  наблюдалась также в полидоменных кристаллах ТМА— $ZnCl_4$  [3]. При поляризации кристалла постоянным электрическим полем  $E_x$  температурные максимумы  $\varepsilon_{xx}$  начинают сближаться с температурами, при которых  $P_s=0$ , и уже при  $E_x=0.5$  кВ/см, превышающем коэрцитивное напряжение  $E_k=0.4$  кВ/см, точно совпадают с точками обоих структурных переходов [6]. Таким образом, заключение о тождественности температурных точек максимума  $\varepsilon_{xx}$  и обращения в нуль спонтанной поляризации справедливо только для монодоменного кристалла ТМА— $CoCl_4$ . В полидоменном же кристалле температурные зависимости  $\varepsilon_{xx}$  искажены, по-видимому,

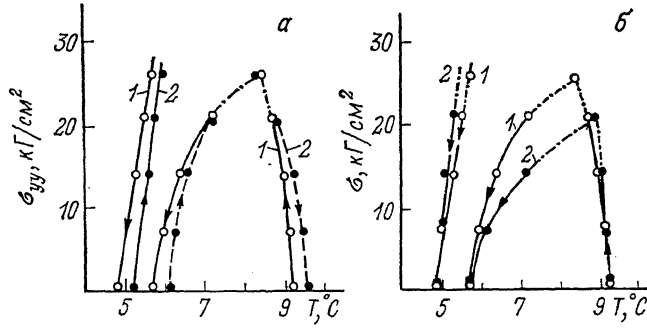


Рис. 4. Фазовые  $\sigma$ ,  $T$ -диаграммы кристалла ТМА— $CoCl_4$  в области полярной фазы.  
а:  $\sigma=\sigma_{yy}$ , 1 — охлаждение, 2 — нагревание; б:  $\sigma=\sigma_{yy}$  (1),  $\sigma=\sigma_{zz}$  (2), охлаждение.

из-за существенного вклада в величину  $\varepsilon_{xx}$  колебаний доменных стенок в электрическом поле. Поэтому при построении фазовых диаграмм «напряжение—температура» принимались во внимание только данные измерений  $\varepsilon_{xx}$  для кристалла, поляризованного постоянным электрическим полем.

Фазовые диаграммы, построенные по данным измерения  $\varepsilon_{xx}$  и  $P_s$ , приведены на рис. 4. Линии фазовых переходов, идущих при понижении и повышении температуры, не совпадают. Это показано только для  $\sigma_{yy}$ ,  $T$ -диаграммы (рис. 4, а). На рис. 4, б построены линии  $\sigma_{yy}$ ,  $T$ - и  $\sigma_{zz}$ ,  $T$ -диаграммы, отвечающие переходам, идущим при понижении температуры. Прямые линии на рис. 4 отделяют низкотемпературную сегнетоэластическую фазу от соседней несоразмерной фазы. Сегнетоэлектрическая фаза ограничена двумя кривыми, сходящимися при  $\sigma=\sigma_{kp}$ .

Прямые линии построены по температурным точкам излома кривых  $\varepsilon_{xx}(T)$  (рис. 3), в которых производная  $d\varepsilon_{xx}/dT$  претерпевает скачок. Так же как и в случае гидростатического давления [4], остается пока не ясным, как выглядят фазовые  $\sigma_{zz}$ ,  $T$ - и  $\sigma_{yy}$ ,  $T$ -диаграммы в области  $\sigma \geq \sigma_{kp}$ . Возможно, что критическая точка является тройной точкой [4], и при  $\sigma > \sigma_{kp}$  должны существовать фазовые границы, разделяющие несоразмерные фазы с различными структурными характеристиками, например с различным периодом несоразмерной сверхструктуры.

Множество структурных фазовых переходов в кристаллах семейства ТМА— $MgX_4$ , включающее переходы в фазы с несоразмерной сверхструктурой, можно описать с помощью феноменологической теории. Различные варианты такой теории предлагаются, например, в [7, 8], где показано, что любую конкретную последовательность фаз, наблюдаемую экспериментально в кристаллах этого семейства, можно получить теоретически

при определенных условиях на коэффициенты свободной энергии, которые можно считать функциями температуры  $T$ , гидростатического давления  $p$  и состава кристалла.

Одноосные напряжения  $\sigma_{xx}$ ,  $\sigma_{yy}$ ,  $\sigma_{zz}$  не изменяют симметрии кристалла, т. е., так же как  $p$  являются инвариантными величинами при преобразованиях симметрий исходной симметричной фазы  $D_{2h}$ . Следовательно, коэффициенты свободной энергии кристалла также можно считать функциями одноосных напряжений и тогда феноменологическое описание подавления сегнетоэлектричества напряжениями  $\sigma_{zz}$ ,  $\sigma_{yy}$  будет полностью аналогичным описанию радикальных изменений фазовой диаграммы при изменении  $p$  и состава кристалла в [7, 8].

По-видимому, самой неожиданной особенностью эффекта подавления сегнетоэлектричества одноосными механическими напряжениями, которая обнаруживается при сравнении критических значений  $\sigma_{zz}$ ,  $\sigma_{yy}$  и гидростатического давления  $p = \sigma_{xx} + \sigma_{yy} + \sigma_{zz}$ , является то, что результат влияния  $p$  на последовательность фазовых переходов в кристаллах ТМА—МеХ<sub>4</sub> не является простой суперпозицией влияния всех трех компонент  $\sigma_{ij}$ . Действительно, из экспериментальных данных следует справедливость неравенства  $p_{kp} \gg (\sigma_{xx})_{kp} + (\sigma_{yy})_{kp} + (\sigma_{zz})_{kp}$ . Следовательно, зависимость характеристик полярной фазы, например спонтанной поляризации  $P_s$ , или температурного интервала  $\Delta T$  существования фазы, от механических напряжений прежде всего должна быть существенно нелинейной. Кроме того, для выполнения этого неравенства необходимо также, чтобы в разложении  $P_s$  или  $\Delta T$  по компонентам  $\sigma_{ij}$  различной степени присутствовал смешанный член типа  $\sigma_{zz}\sigma_{yy}$  со знаком, противоположным знаку всех остальных членов разложения. Иначе говоря, необходимо, чтобы компоненты  $\sigma_{ij}$ , при одновременном их воздействии на кристалл взаимно компенсировали свое влияние на характеристики полярной фазы, что и должно привести к резкому возрастанию критического значения гидростатического давления  $p_{kp}$  по сравнению с критическими  $(\sigma_{zz})_{kp}$  и  $(\sigma_{yy})_{kp}$ . Дополнительная экспериментальная проверка показала, что при одновременном сжатии кристалла ТМА—CoCl<sub>4</sub> напряжениями  $\sigma_{zz}$  и  $\sigma_{yy}$  одинаковой величины эффект подавления сегнетоэлектричества действительно практически отсутствует в том диапазоне значений  $\sigma$ , в котором он наблюдался при поочередном приложении  $\sigma_{zz}$ ,  $\sigma_{yy}$ , а экстраполяция зависимости  $P_s$  от напряжения  $\sigma_{zz} + \sigma_{yy}$  в область высоких значений  $\sigma$  дает критическое значение  $\sigma_{kp}$  того же порядка величины, что и  $p_{kp}$ .

Дальнейшие исследования аномального влияния одноосных механических напряжений на фазовую диаграмму кристаллов семейства ТМА—МеХ<sub>4</sub>, очевидно, в первую очередь должны быть направлены на выяснение более тонких деталей фазовой диаграммы и структурного механизма ее радикального изменения.

#### Список литературы

- [1] Каллаев С. Н., Гладкий В. В., Кириков В. А., Шувалов Л. А. // Письма в ЖЭТФ. 1989. Т. 50. № 2. С. 98—101.
- [2] Каллаев С. Н., Гладкий В. В., Кириков В. А., Иванова Е. С., Шувалов Л. А. // ФТТ. 1990. Т. 32. № 9. С. 2832—2834.
- [3] Каллаев С. Н., Гладкий В. В., Кириков В. А., Иванова Е. С., Шувалов Л. А. // ЖЭТФ. 1990. Т. 98. № 5 (11). С. 1804—1813.
- [4] Gesi K. // Ferroelectrics. 1986. V. 66. N 1/2/3/4. P. 269—286.
- [5] Shimizu H., Kokubo N., Yasuda N., Fujimoto S. // J. Phys. Soc. Jap. 1980. V. 49. N 1. P. 223—229.
- [6] Каллаев С. Н., Гладкий В. В., Кириков В. А., Иванова Е. С. // ФТТ. 1990. Т. 32. № 11. С. 3446—3448.
- [7] Mashiyama H. // J. Phys. Soc. Jap. 1980. V. 49. N 6. P. 2270—2277.
- [8] Санников Д. Г. // ЖЭТФ. 1989. Т. 96. № 6 (12). С. 2198—2208.